

(دریافت مقاله: ۱۳۸۹/۵/۲۰؛ دریافت نسخه نهایی: ۱۳۹۰/۵/۸)

(bunching)

### مغناطیسی هستند.

جریان پلاسمایی میدان مغناطیسی را به وجود می‌آورد که این میدان باعث منقبض شدن پلاسما و افزایش چگالی جریان می‌شود و در اثر افزایش چگالی جریان، ناپایداری الکترومغناطیسی به وجود می‌آید. در این حالت  $\nabla \times \bar{E} \neq 0$  است و باید مجموعه معادلات ماسکول به طور کامل حل شوند [۱].

در اینجا برای مطالعه ناپایداری در پلاسما از روش شبیه‌سازی کامپیوترا استفاده شده است که این روش جزو دسته علوم محاسباتی است و روشنی است که در آن نقطه آغاز کار، بررسی علمی مدل ریاضی پدیده مورد نظر می‌باشد. معادلات مدل ریاضی باید به فرم جبری گسته‌سازی شوند تا

در توصیف یک پلاسمای در حال تعادل، پارامترهای بسیار زیادی از جمله ناپایداری‌ها مطرح هستند. هرگاه یک اختلال رشد کننده در سیستم وجود داشته باشد به طوری که بتواند کل پیکربندی سیستم و یا کمیت‌های ماکروسکوپیک دستگاه را تغییر بدهد، به اصطلاح می‌گوییم سیستم در حال تعادل ناپایدار قرار دارد.

در یک طرح ساده ناپایداری‌ها به دو دسته اصلی ناپایداری‌های فضای مکان یا ناپایداری‌های ماکروسکوپیک و ناپایداری‌های فضای سرعت یا میکروسکوپیک تقسیم می‌شوند که خود شامل دو گروه ناپایداری‌های الکترواستاتیکی و الکترو

نتایج حاصل از شبیه‌سازی ذره در جعبه با نتایج نظری می‌باشد.

در ناپایداری رامان یک موج نور ورودی با دامنه بزرگ به یک موج نوری پراکنده و یک موج الکترونی پلاسمای تبدیل می‌شود. در پراکندگی پیش رو مستقیم، سرعت فاز تقریباً نزدیک سرعت نور است و ذرات بسیار کمی در زمینه پلاسمای وجود دارند که انرژی لازم را برای به دام افتادن توسط این امواج کسب کنند و در نتیجه شتاب بگیرند. در صورتی که موج ورودی در یک مسافت نسبتاً طولانی در پلاسمای کم چگال منتشر بشود، موج الکترونی پلاسمای با دامنه قابل توجهی تولید می‌شود که می‌تواند الکترون‌های پر انرژی تولید کند<sup>[۲]</sup>.

یک موج ورودی با مشخصات  $(\omega_0, k_0)$  به شکل

$$\bar{E} = \bar{E}_0 \cos(k_0 x - \omega_0 t)$$

و یک موج الکترونی پلاسمایی  $(\omega_{ek}, k_p)$  تبدیل می‌شود که از روابط پراکندگی زیر پیروی می‌کنند<sup>[۳]</sup>:

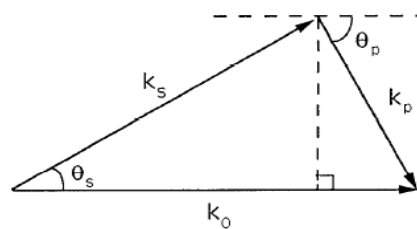
$$\begin{aligned}\omega_s &= \omega_p + k_s c, \\ \omega_{ek} &= \omega_p + 3k_p v_e,\end{aligned}\quad (1)$$

که  $v_e = \sqrt{\frac{k_B T}{m_e}}$  سرعت حرارتی الکترون‌های پلاسمای  $k_B$  ثابت بولتزمن و  $m_e$  جرم الکtron است. شرایط تطابق (شرط تشدید)<sup>۱</sup> فرکانس و عدد موج به صورت زیر است:

$$\begin{aligned}\omega_0 &= \omega_s + \omega_{ek}, \\ \vec{k}_0 &= \vec{k}_s + \vec{k}_p,\end{aligned}\quad (2)$$

که  $\omega_0$  و  $\vec{k}_s$  به ترتیب فرکانس و عدد موج، موج نور فرودی (پراکنده) هستند و  $\omega_{ek}$  و  $\vec{k}_p$  فرکانس (عدد موج) موج الکترونی پلاسمای هستند. هندسه این شرایط در شکل ۱ نشان داده شده است. در این شکل  $\theta_s$  زاویه پراکندگی است.

بیشترین نرخ رشد در ناپایداری رامان پیش رو و پس رو <sup>۲</sup> در پلاسمای همگن از رابطه زیر به دست می‌آید<sup>[۴]</sup>:



شکل ۱. هندسه شرایط تشدید.

برای حل عددی قابل درک باشند. معادلات گسسته‌سازی شده زمانی که به عنوان یکسری دستورات کامپیوتری بیان می‌شوند، توصیف کننده مدل شبیه‌سازی هستند که به صورت یک برنامه شبیه‌سازی کامپیوتری در می‌آید.

حتی در ساده‌ترین محاسبات به روش شبیه‌سازی، اطلاعات بسیار حجیمی تولید می‌شود که نیازمند یک بررسی علمی است تا از آن نتایج قابل فهمی به دست آید. از این‌رو بیشترین تلاش پژوهشگران در این زمینه، معطوف به به دست آوردن روش‌های شبیه‌سازی مناسبی برای سیستم‌های فیزیکی می‌باشد که توسط منابع کامپیوتری محدودی که در دسترس است، قابل بررسی باشند. تفاوت بین یک پلاسمای شبیه‌سازی شده و یک پلاسمای واقعی در تعداد بارها، میدان‌ها و معیارهای فضایی و زمانی است. یک پلاسمای واقعی شامل تعداد بسیار زیادی از الکترون‌ها و یون‌های مثبت است. در یک فرآیند شبیه‌سازی یک ذره باردار در اصل یک مجموعه همگنی از تعداد بسیار زیاد ذرات باردار در یک پلاسمای واقعی است، بنابراین بار و جرم آن چند برابر بار و جرم ذرات واقعی است. ولی نسبت بار به جرم ذرات شبیه‌سازی شده و واقعی برابرند و بدین ترتیب در شبیه‌سازی تعداد بسیار زیاد بار در پلاسمای با تعداد کمتری جایگزین می‌شود و می‌توان پدیده‌های فیزیکی بسیاری را با تعداد ذرات محدودی شبیه‌سازی کرد.

از مزیت این روش می‌توان به حجم پایین آرایه‌ها و محاسبات اشاره کرد. کاربرد کلمه "ذره" در حافظه کامپیوتری نشان دهنده همان مفهوم ذرات باردار است که فضای واقعی را اشغال می‌کنند.

لازم به ذکر است که بررسی‌های تئوری در زمینه ناپایداری رامان به خوبی انجام پذیرفته است و هدف از این مقاله تطبیق

<sup>۱</sup>. Phase matching

<sup>۲</sup>. Stimulated Raman backward and forward scattering

می‌توان چگالی بار، جریان و ..... را در هر بازه زمانی روی نقاط شبکه به دست آورد. با محاسبه چگالی جریان و چگالی بار، میدان‌های الکترومغناطیسی توسط معادلات میدان بر روی نقاط شبکه محاسبه می‌شوند. در مرحله بعدی مکان نقاط فاز در فضای فاز توسط معادلات نیوتون - لورنتس به دست می‌آید. اما برای این محاسبات نیاز به داشتن مقادیر میدان‌ها بر روی نقاط فاز است که با برونیابی<sup>۳</sup> از مقادیر میدان‌ها بر روی نقاط شبکه به روش لاگرانژ به دست می‌آید[۶]. مقادیر به دست آمده برای مکان و سرعت نقاط فاز به عنوان شرایط اولیه گام زمان بعدی استفاده می‌شود و تمامی مراحل برنامه به این ترتیب دنبال خواهد شد. اجرای مراحل فوق در یک کد کامپیوتروی به زبان برنامه نویسی فرترن<sup>۴</sup> نوشته شده است.

معیارهایی برای تضمین اجرای صحیح کد از لحاظ تعداد ذرات، بازه زمانی و بازه مکانی وجود دارد. تعداد ذرات باید بسیار بیشتر از نقاط شبکه باشد، که این مطلب تضمین کننده این حقیقت است که در طول زمان شبیه‌سازی هر خانه شبکه همواره به طور میانگین شامل چندین ذره شود. بازه مکانی نباید بزرگتر از طول دیای  $D$  باشد تا بدین ترتیب توزیع پتانسیل توسط جدایش بار، قابل محاسبه شود. بازه زمانی باید کمتر از عکس فرکانس الکترونی پلاسما  $\omega_{pe}^{-1}$  باشد تا بدین ترتیب نوسانات پلاسمایی تولید گردد[۷].

اولین گام در حل یک سیستم معادلات، بی بعدسازی می‌باشد تا از خطاهای ناشی از وجود ضرایب خیلی بزرگ و خیلی کوچک اجتناب شود. بی بعدسازی استفاده شده در کد دو بعدی نسبت به خصوصیات موج ورودی به صورت زیر است:

$$t\omega_0 \rightarrow t, \quad k_0 x \rightarrow x, \quad \frac{v}{c} \rightarrow v,$$

$$\frac{q}{mc\omega_0} E(B) \rightarrow E(B),$$

$$\frac{4\pi q}{mc\omega_0^2} J \rightarrow J$$

که در آن  $\omega_0$  و  $k_0$  فرکانس و عدد موج تخت

<sup>۳</sup>. extrapolation

$$\gamma = \frac{k_p v_{os}}{4} \left[ \frac{\omega_{pe}^2}{\omega_{ek} (\omega_0 - \omega_{ek})} \right]^{\frac{1}{2}}. \quad (3)$$

برای ایجاد ناپایداری رامان موج باید در پلاسما نفوذ کند. چون کمینه فرکانس یک موج نوری در پلاسما،  $\omega_{pe}$  (فرکانس الکترونی پلاسما) است واضح است که طبق شرایط تطبیق لازم است که  $n \leq \frac{n_{cr}}{2\omega_{pe}}$  باشد. یعنی  $n_{cr}$  که در آن  $n$  چگالی پلاسماست و  $n_{cr}$  چگالی بحرانی در پلاسماست[۵] که با توجه به رابطه پاشندگی و فرکانس پلاسما مقدار  $n_{cr} = \frac{m\omega_0^2}{4\pi e^2}$  را برای آن می‌یابیم. اگر شرط  $n \leq \frac{n_{cr}}{4}$  در پلاسما برقرار باشد آن را پلاسمای کم چگال می‌نامیم.

### ۱. (PIC Simulation)

از روش شبیه‌سازی ذره در جعبه در پلاسما برای دنبال کردن مسیر ذرات باردار در یک میدان الکترومغناطیسی خودسازگار که روی نقاط شبکه ثابت محاسبه شده‌اند، استفاده می‌شود. طرح کلی شبیه‌سازی بر اساس مفهوم خود سازگار بودن میدان‌ها در گام چنانچه توزیع ذرات در هر گام زمانی و مقادیر میدان‌ها در گام زمانی قبل مشخص باشند می‌توان مقادیر میدان در زمان جدید را با استفاده از معادلات حاکم بر میدان (آمپر - فاراده) محاسبه کرد. چنین میدانی بر حرکت ذرات تأثیر می‌گذارد و باعث آرایش جدید آنها می‌شود که نحوه این حرکت را می‌توان با استفاده از حل نیروی لورنتس مشخص کرد. بنابراین میدان‌های الکترومغناطیسی که مورد توجه هستند از توزیع ذرات تأثیر می‌پذیرند و بر توزیع ذرات تأثیر می‌گذارند. این مسئله همان خودسازگاری میدان‌های الکترومغناطیسی است. به صورت کلی الگوریتم کد دو بعدی الکترومغناطیسی نوشته شده به شرح زیر است:

در ابتدای برنامه شرایط اولیه با مشخص کردن مکان و سرعت ذرات مشخص می‌شود، سپس با استفاده از درونیابی<sup>۲</sup>

۱. Particle In Cell Simulation

۲. interpolation

موج فرودی  $U$ ، عدد موج فرودی  $\frac{100}{3}$ ، فرکانس موج فرودی با بعد  $(sec^{-1})^{12} \times 10^1$ ، چگالی اولیه پلاسمای با بعد  $(cm^{-1})^{10} \times 10^9$  و فرکانس الکترونی پلاسمای با بعد  $(sec^{-1})^{10} \times 10^9$ .  
 ذرات را الکترون در حالت سکون در نظر گرفته و در راستای  $x$  در فاصله  $45 < x < 5$  قرار دادیم و در راستای  $y$  شرط دوره‌ای بودن را لحاظ کردیم. توزیع مکانی الکترون‌ها یکنواخت است.  
 محیط پلاسمای شامل الکترون‌ها و یون‌هاست به صورت ذره‌ایی شبیه‌سازی شده و فرض می‌شود که یون‌ها به دلیل اینرسی زیاد زمینه ثابتی را تشکیل می‌دهند، در حالی که دینامیک الکترون‌ها از طریق حل معادلات نیوتون-لورنتس به دست می‌آید. بعد از محاسبه، چگالی الکترون‌ها مقدار  $n = 1/23 \times 10^{10}$  و چگالی بحرانی مقدار  $n_{cr} = 3/1 \times 10^{13}$  به دست آمد که با توجه به برقراری شرط  $\frac{n_{cr}}{4} \leq n$  برای ناپایداری مذکور، انتظار مشاهده ناپایداری را در نتایج کد داریم. فواصل زمانی اجرای برنامه توسط زیر برنامه  $dt$  تعیین می‌شود. مدت اجرای برنامه هم در قسمت برنامه اصلی توسط تعداد تکرارها<sup>۱</sup> محاسبه می‌شود.  
 با در نظر گرفتن موج ورودی تخت الکترومغناطیسی به معادله  $\vec{j} = E_0 \sin(\omega t - kx)$  که از مرز سمت راست یعنی  $x=0$  به جعبه شبیه‌سازی اعمال می‌شود، و طبق معادلات ماسکول اعمال میدان  $\vec{k} = E_0 \sin(\omega t - kx)$  روی همین مرز، پدیده ناپایداری رامان یا رشد امواج طولی در پلاسمای مورد بررسی قرار گرفت. قابل ذکر است که بررسی‌های نظری در این زمینه انجام شده است و هدف از این مقاله مقایسه نتایج نظری با نتایج شبیه‌سازی ذره‌ای است.

لازم است برای مقایسه عبور موج تخت از پلاسمای خالص، ابتدا جعبه شبیه‌سازی فاقد پلاسمای باشد. شکل ۲ نشان دهنده آن است که نحوه انتشار موج تخت الکترومغناطیسی با نتایج نظری در انطباق کامل است و در عبور موج تخت از خالص، هیچ گونه موج الکتریکی طولی ایجاد نشده است.

الکترومغناطیسی ورودی،  $m$  و  $q$  جرم و بار الکتریکی ذرات،  $E$  و  $B$  میدان الکتریکی و مغناطیسی،  $c$  سرعت نور،  $J$  چگالی جریان،  $v$  سرعت ذرات،  $x$  مکان ذرات و  $t$  زمان می‌باشد.  
 برای شبیه‌سازی برهمنش یک موج تخت الکترومغناطیسی با یک بره پلاسمای نیاز به شبیه‌سازی معادلات ماسکول می‌باشد.  
 معادلات ماسکول در دستگاه گاؤسی به شکل زیر است:

$$\vec{\nabla} \times \vec{B} = \frac{1}{c} \frac{\partial \vec{E}}{\partial t} + \frac{4\pi \vec{J}}{c}, \quad (4)$$

$$\vec{\nabla} \times \vec{E} = -\frac{1}{c} \frac{\partial \vec{B}}{\partial t},$$

$$\vec{\nabla} \cdot \vec{E} = 4\pi\rho,$$

$$\vec{\nabla} \cdot \vec{B} = 0.$$

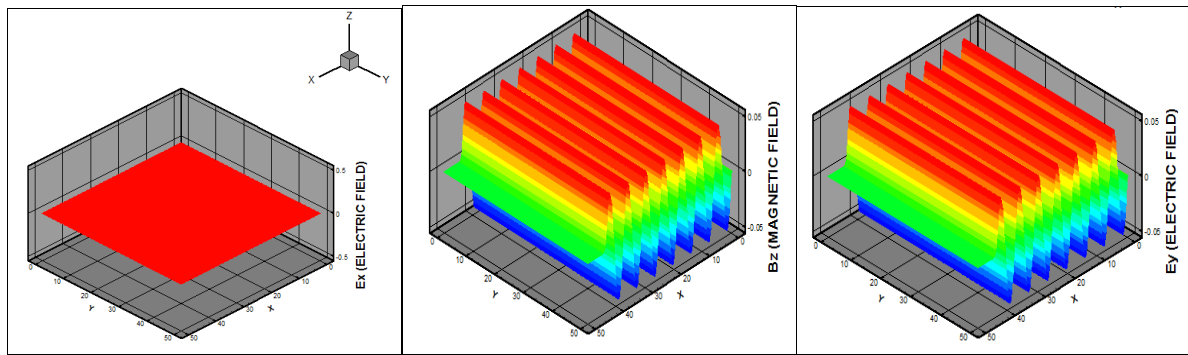
حل این معادلات در سه بعد به دلیل حجم بالای آرایه‌ها و محاسبات، یک مجموعه کاملاً پیچیده را تشکیل می‌دهد. به همین جهت سعی می‌شود که این معادلات را با در نظر گرفتن فرض‌هایی که باعث کاهش ابعاد مسئله می‌شود ساده‌تر کرد. در اینجا تحولات یک موج تخت الکترومغناطیسی با قطبش خطی که در راستای  $x$  منتشر می‌شود را در برهمنش با پلاسمای نظر می‌گیریم. بدین صورت مؤلفه‌های پتانسیل برداری به صورت  $\vec{A} = (0, A_y, 0)$  می‌شود و با توجه به

$$\text{الکترومغناطیسی } (E_x, E_y, B_z) \text{ می‌باشد.}$$

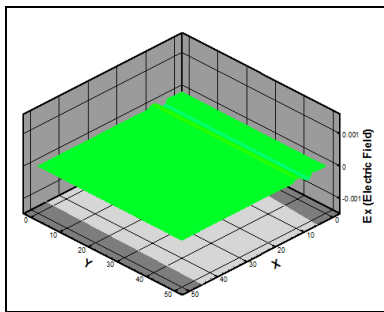
هنگام عبور یک موج تخت با این مشخصات، اگر الکترون‌ها در راستای  $z$  سرعت اولیه نداشته باشند، حرکت ذرات در صفحه  $xy$  باقی خواهد ماند و تحولی در راستای  $z$  وجود نخواهد داشت (برای اطلاعات بیشتر به پیوست مراجعه شود).

داده‌های بی بعد و شرایط اولیه در کد دو بعدی الکترومغناطیسی به کار رفته در این مقاله به شرح زیر است:

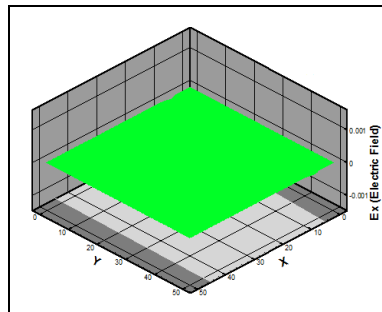
طول جعبه شبیه‌سازی در دو راستای  $x$  و  $y$ ،  $50$ ، فاصله مکانی نقاط شبکه در راستای  $x$  و  $y$ ،  $0/1$ ، تعداد ذرات در هر سلول یک، تعداد کل ذرات  $200000$ ، تعداد نقاط شبکه در دو راستای  $x$  و  $y$ ،  $50$ ، دامنه موج الکتریکی فرودی  $0/05$ ، طول



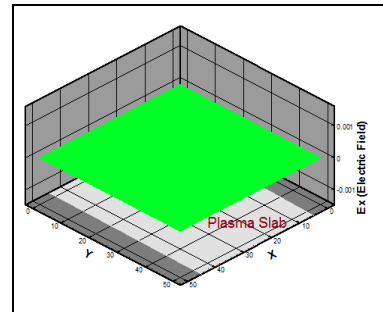
شکل ۲. انتشار موج الکترومغناطیسی تخت در خلاء.



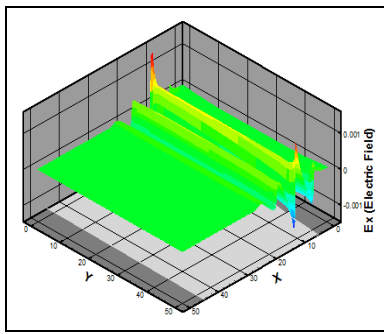
شکل ۵. آغاز رشد امواج طولی در اثر انتشار موج ورودی در پلاسما.



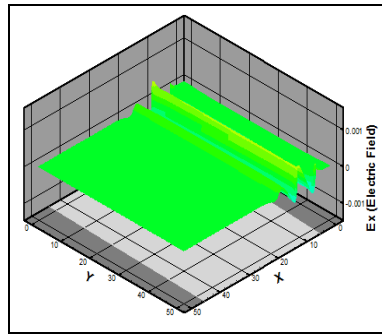
شکل ۶. رشد امواج طولی در اثر انتشار موج ورودی در پلاسما.



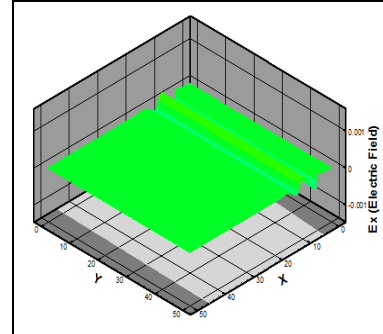
شکل ۷. هنوز موج الکتریکی به پلاسما نرسیده است.



شکل ۸. رشد امواج طولی در اثر انتشار موج ورودی در پلاسما.



شکل ۹. رشد امواج طولی در اثر انتشار موج ورودی در پلاسما.

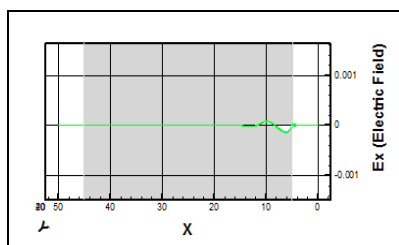


شکل ۱۰. رشد امواج طولی در اثر انتشار موج ورودی در پلاسما.

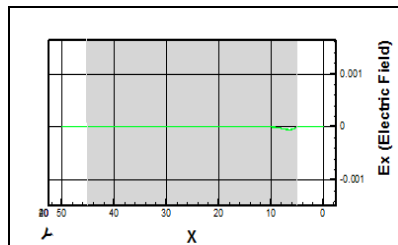
انتشار امواج الکترومغناطیسی را در آن مورد بررسی قرار داده‌ایم. با در نظر گرفتن موج ورودی تخت به معادله  $\hat{E} = E_0 \sin(\omega t - kx)$  که از مرز سمت راست یعنی  $x=0$  به جعبه شبیه‌سازی اعمال می‌شود، پدیده ناپایداری رامان یا رشد امواج طولی در پلاسما مورد بررسی قرار گرفته است. با این توضیحات، با توجه به شکل‌های ۳ تا ۱۴، مشاهده می‌شود که میدان الکتریکی طولی که در حالت خلاء در زمان

این نتایج عددی حاصل شده از انتشار موج تخت در خلاء دلیلی بر صحت عملکرد کد است [۸].

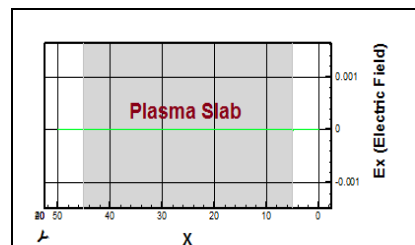
حال در مورد بررسی ناپایداری رامان پیش رو با توجه به شرایط اولیه و مدل شبیه‌سازی ابتدا موج تخت الکترومغناطیسی از مرز وارد ناحیه خلاء و سپس وارد تیغه پلاسمای کم چگال شده و پس از عبور از این تیغه دوباره وارد ناحیه خلاء می‌شود. در این حالت یک تیغه پلاسمای رقيق را در نظر گرفتیم و



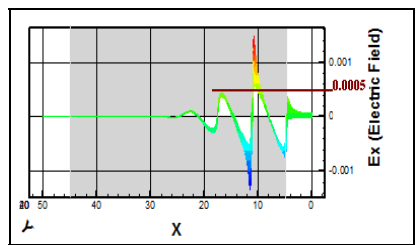
شکل ۱۱. ایجاد موج طولی در اثر انتشار موج ورودی در پلاسمای.



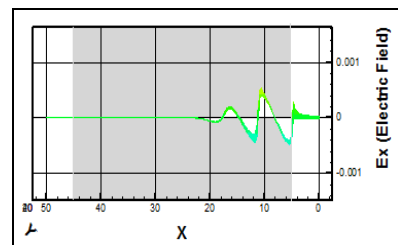
شکل ۱۰. موج وارد پلاسمای شده و آغاز رشد میدان طولی.



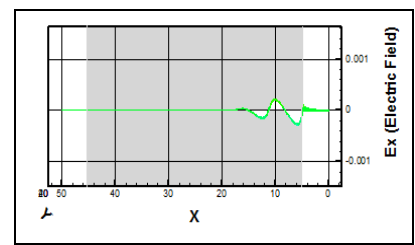
شکل ۹. موج به پلاسمای نرسیده.



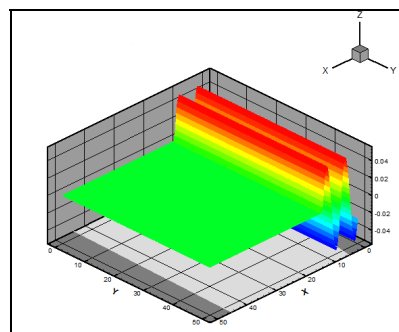
شکل ۱۴. ایجاد موج طولی در اثر انتشار موج ورودی در پلاسمای.



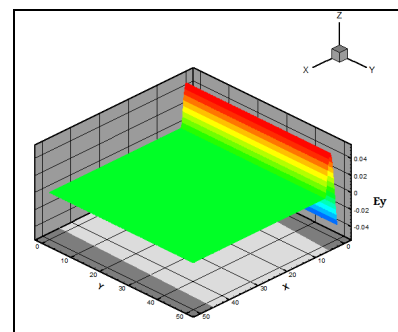
شکل ۱۳. ایجاد موج طولی در اثر انتشار موج ورودی در پلاسمای.



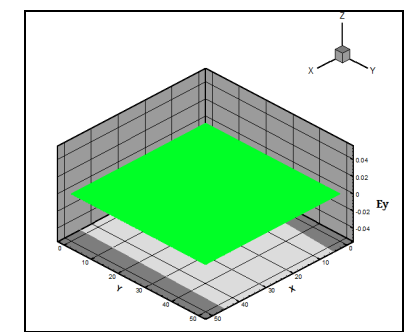
شکل ۱۲. ایجاد موج طولی در اثر انتشار موج ورودی در پلاسمای.



شکل ۱۷. انتشار موج در جعبه شبیه سازی.



شکل ۱۶. انتشار موج در جعبه شبیه سازی.



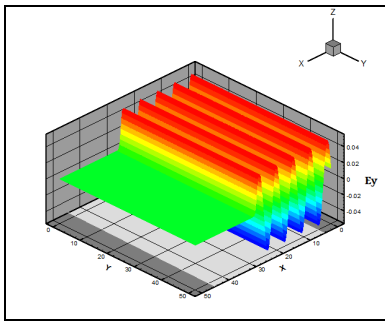
شکل ۱۵. ورود موج به جعبه شبیه سازی.

صحت این مطلب را به اثبات می‌رساند [۸]، که نمای کناری این در شکل‌های ۲۱ نشان داده شده است.

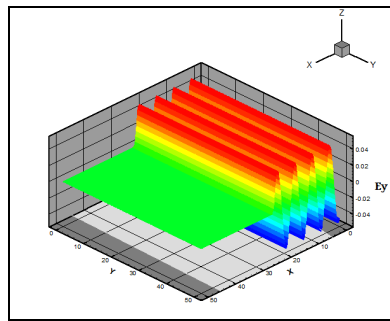
باید توجه داشت که دامنه موج طولی ایجاد شده تا مقدار محدودی رشد می‌کند و پس از آن با ایجاد حفره در پلاسمای ایجاد آشفتنگی از رشد آن جلوگیری می‌شود و شکل موج طولی بهم می‌ریزد که این مطلب ناشی از اثرات غیر خطی در پلاسمای است [۱۰-۹]. در این حالت ذرات به دام افتدۀ در موج دائماً با موج در تبادل انرژی هستند. برای بررسی این مطلب اجازه دادیم موج زمان طولانی‌تری در جعبه شبیه سازی انتشار یابد (تعداد تکرار ۴۰۰۰). در شکل‌های ۲۲ مشاهده می‌شود که با این پیشروعی، شکل موج طولی در آستانه خراب شدن است.

انتشار موج ورودی در راستای  $x$  صفر بود در پلاسمای شروع به رشد کرده و به بیشینه مقدار  $5000$  می‌رسد که در مقایسه با مقدار دامنه موج ورودی قابل توجهی است (بیشترین مقدار دامنه موج طولی تقریباً  $10$  دامنه موج ورودی رشد کرده است). شکل‌های ۳ تا ۸ نشانگر رشد این میدان طولی در اثر انتشار موج ورودی در پلاسمای می‌باشد (تعداد تکرار  $3000$ ، که نمای رشد این امواج طولی از پہلو، برای درک بیشتر در شکل‌های ۹ تا ۱۴ آورده شده است).

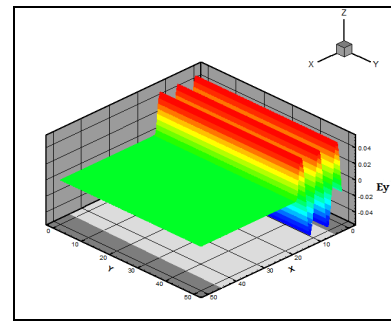
با توجه به برقراری شرط  $\frac{n_{cr}}{4} \leq n$  در این کد انتظار داریم که پلاسمای در عبور موج الکترو-مغناطیسی ورودی شفاف باشد و موج ورودی به راحتی از آن عبور کند. نمودارهای ۱۵ تا ۲۰



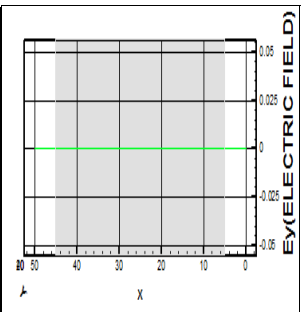
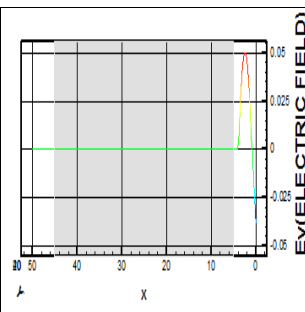
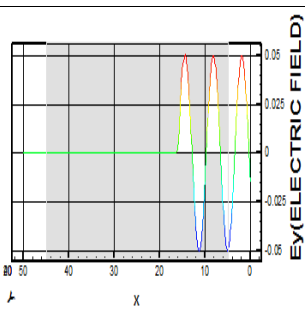
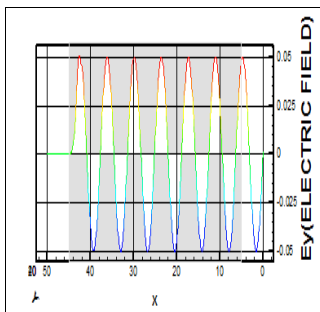
شکل ۱۹. انتشار موج در جعبه شبیه سازی.



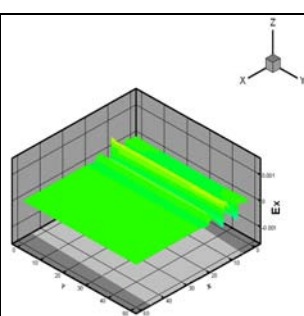
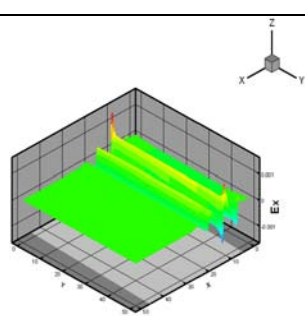
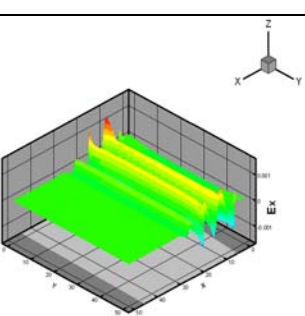
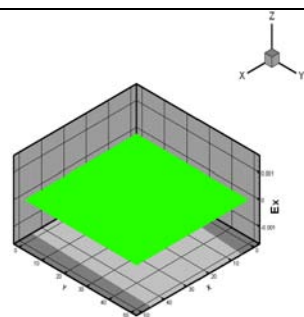
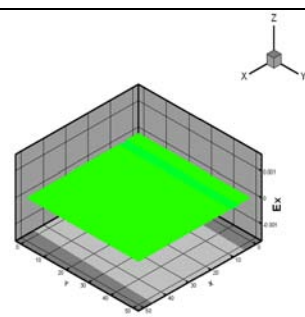
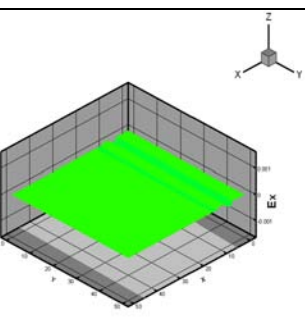
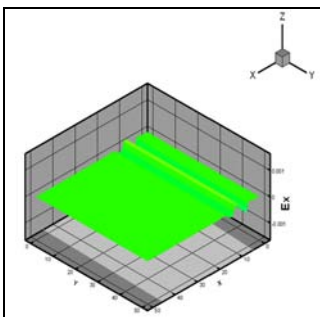
شکل ۲۰. انتشار موج در جعبه شبیه سازی.



شکل ۲۱. انتشار موج در جعبه شبیه سازی.



شکل ۲۲. انتشار موج در جعبه شبیه سازی.

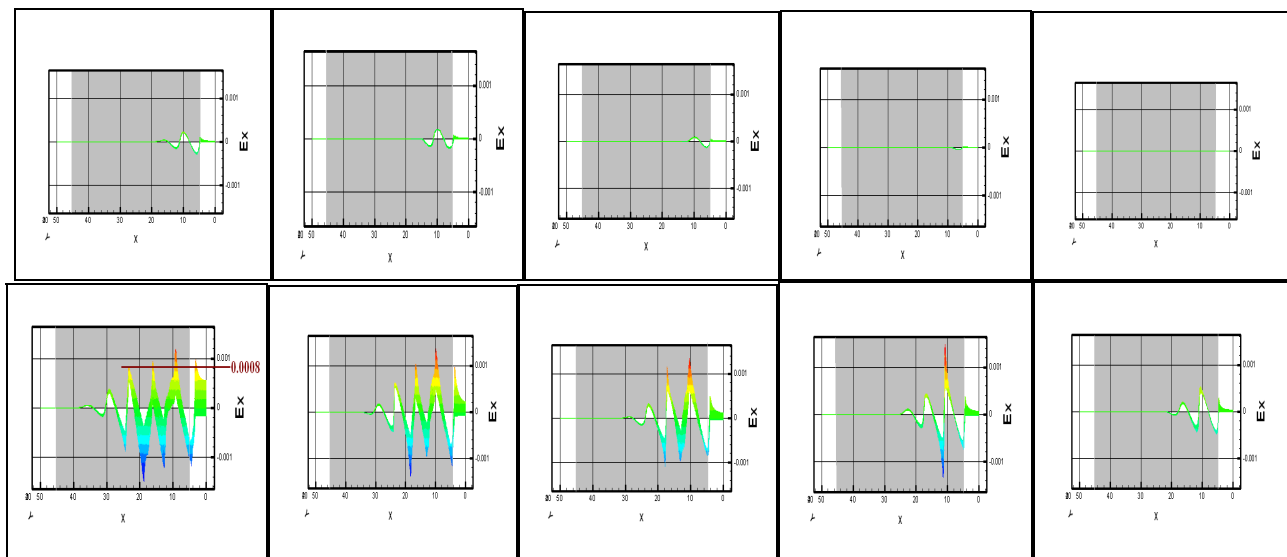


شکل ۲۳. رشد امواج طولی در اثر عبور موج ورودی از پلاسما در زمان طولانی تر.

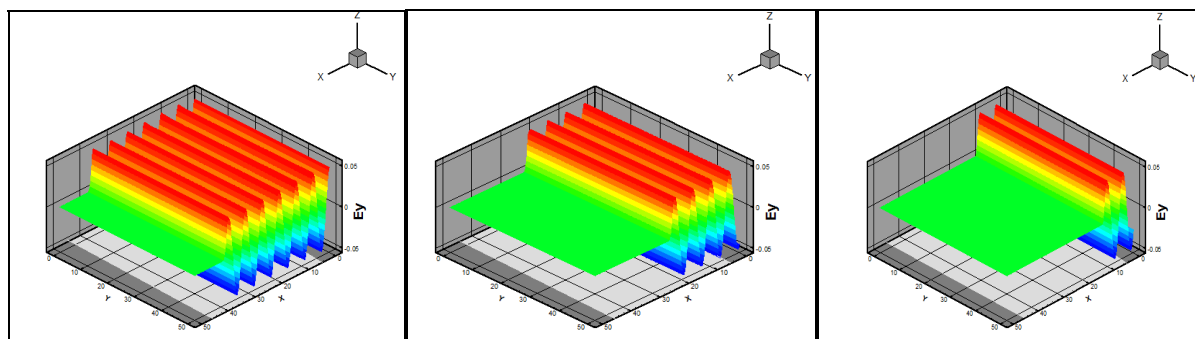
بحرانی است، پلاسما شفاف است و نحوه انتشار موج ورودی در پلاسما به صورت شکل ۲۴ است.

نمای کناری رشد این موج طولی در شکل های ۲۳ قابل مشاهده است.

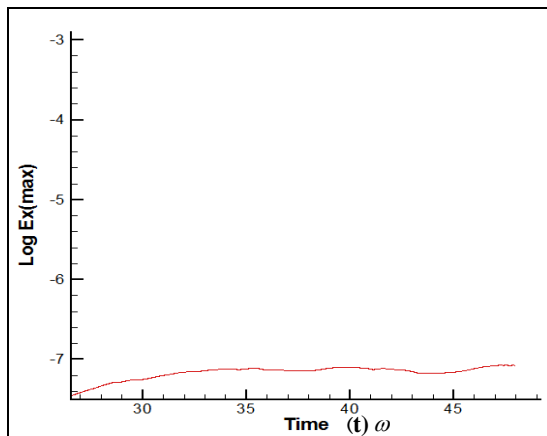
البته چون هنوز چگالی ذرات پلاسما خیلی کمتر از چگالی



شکل ۲۳. رشد میدان طولی در پلاسمای در اثر عبور موج ورودی در زمان طولانی تر.

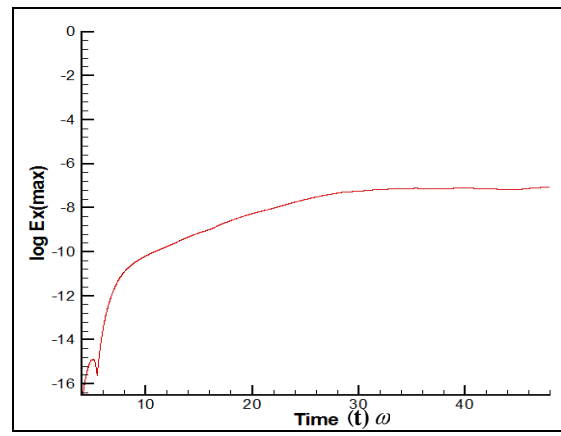


شکل ۲۴. انتشار موج ورودی در جعبه شبیه سازی.



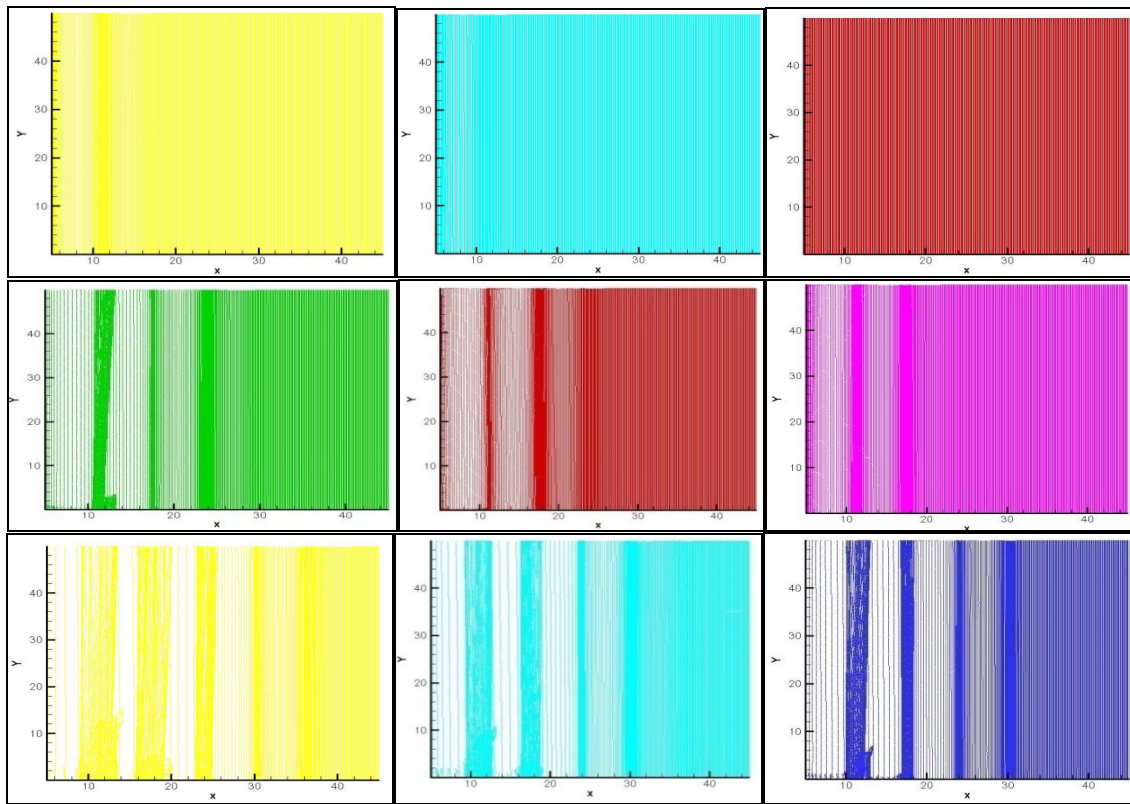
شکل ۲۵. نمودار لگاریتمی میدان الکتریکی طولی نسبت به زمان برای دامنه های قابل توجه.

با توجه به شکل ۲۵ از زمان های ۲۵ و یا ۳۰ به بعد اندازه دامنه میدان قابل توجه است و نمودار، شبیه مالاییمی دارد. شبیه نمودار ۲۶ را می توان به عنوان نرخ رشد میدان در نظر گرفت.

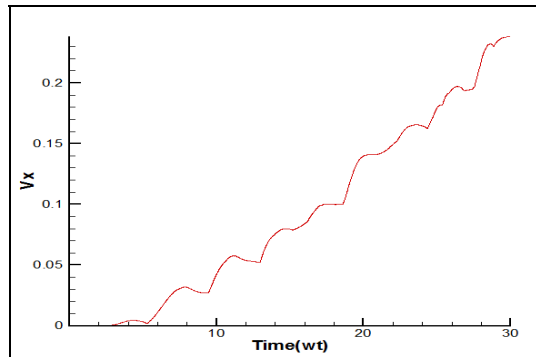


شکل ۲۶. نمودار لگاریتمی میدان الکتریکی طولی نسبت به زمان.

مهم ترین مسئله در ناپایداری ها اندازه گیری نرخ رشد ناپایداری است. برای این منظور نمودار لگاریتمی میدان نسبت به زمان به صورت شکل ۲۵ به دست آمده است.

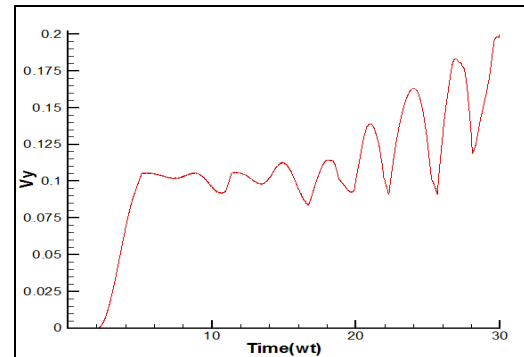


شکل ۲۷. فضای موقعیت ذرات.

شکل ۲۹. نمودار سرعت در راستای  $x$ .

مقدار شیب محاسبه شده برای (شکل ۲۶) که نشان دهنده نرخ رشد ناپایداری است، مقدار  $1.0 \times 10^{-3}$  به دست آمد که با مقدار تحلیلی محاسبه شده از رابطه (۳) یعنی  $9 \times 10^{-3}$  به مقدار  $12/6$  درصد خطا دارد.

در شکل ۲۷ فضای موقعیت ذرات رسم شده است که جداسازی بارها و پدیده خوشه‌ای شدن<sup>۲</sup> را نشان می‌دهد و این خود دلیلی بر صحت ایجاد امواج طولی در پلاسما است [۱].

شکل ۲۸. نمودار سرعت در راستای  $y$ .

بهترین راه برای محاسبه شیب خط این نمودار روش کمترین مربعات<sup>۱</sup> است. در این روش عرض از مبدأ خطی به معادله  $y = ax + b$  را کمینه می‌کند و بهترین خطی که منطبق بر مجموعه‌ای از نقاط است را می‌یابند. شیب این خط از رابطه زیر به دست می‌آید.

$$a = \frac{n \sum_{i=1}^n x_i y_i - \sum_{i=1}^n x_i \sum_{i=1}^n y_i}{n \sum_{i=1}^n x_i^2 - \sum_{i=1}^n x_i \sum_{i=1}^n x_i} \quad (5)$$

<sup>۱</sup>. bunching<sup>۲</sup>. Linear least square fitting

توجه به وابستگی تحولات مکانی میدان الکتریکی به تحولات زمانی میدان مغناطیسی و بالعکس (قانون فارادی و آمپر-ماکسول) گستته‌سازی این معادلات بدون بعد شده  $(\frac{\partial \vec{E}}{\partial t} = \vec{\nabla} \times \vec{B} - \vec{J})$  و  $(\frac{\partial \vec{B}}{\partial t} = -\vec{\nabla} \times \vec{E})$  به روش زیر مطرح می‌شود.

با توجه به معادلات فوق (مشتق‌گیری زمانی از میدان‌های  $\vec{E}$  و  $\vec{B}$  در سمت چپ وجود خود این میدان‌ها در سمت راست) انتگرال‌گیری زمانی به روش پرش قورباغه<sup>۱</sup> در بازه‌های زمانی صحیح و نیم صحیح زمانی و مکانی مطابق شکل ۳۰ انجام شده است.<sup>[۱۱]</sup>

این روش زمان-مرکزی<sup>۲</sup> است و دقت مشتقات زمانی از مرتبه دوم است. در فضای دو بعدی میدان‌ها، به میدان‌های الکتریکی عرضی TE و مغناطیسی عرضی TM تقسیم می‌شوند. همه متغیرهای فضایی از جمله  $\vec{K}$  در صفحه  $xy$  هستند. برای میدان‌های TM با در نظر گرفتن  $\vec{k} \cdot \vec{B} = 0$ ، اجزای  $E_x$ ,  $E_y$ ,  $B_z$  را داریم و برای میدان‌های TE با شرط  $\vec{k} \cdot \vec{E} = 0$ ، اجزای مشابه  $E_x$ ,  $B_y$ ,  $E_z$  را داریم. نمودارکلی، که ترکیبی از نمودارهای لازم برای میدان‌های TM و TE است برای موقعیت‌های نسبی مؤلفه‌های میدان، چگالی جریان و ... به صورت شکل ۳۱ می‌باشد. در بعضی از کاربردها میدان‌های TE صفر باقی می‌مانند، بنابراین نیازی به محاسبه و ذخیره‌سازی آن نیست.<sup>[۱۲]</sup>

اکنون می‌توان با استفاده از روش گستته‌سازی بوریس، مورس و نلسون<sup>۳</sup> مشتق زمانی معادلات ماکسول را به شکل

$$\left( \partial_t E_x \right)_{j+\frac{1}{2}, k}^{n+\frac{1}{2}} = \frac{\left( E_x \right)_{j+\frac{1}{2}, k}^{n+1} - \left( E_x \right)_{j+\frac{1}{2}, k}^n}{\Delta t}$$

$$\left( E_x \right)_{j+\frac{1}{2}, k}^n = E_x \left( \left[ j + \frac{1}{2} \right] \Delta x, k \Delta y, n \Delta t \right)$$

نموداری که در آن

مؤلفه  $x$  میدان الکتریکی در زمان  $n \Delta t$  و در

در ادامه بررسی‌های به عمل آمده در مورد فضای فاز نمودار بیشترین مقدار سرعت در دو راستای  $x$  و  $y$  در هر بازه زمانی را برای جعبه‌ای به طول  $30^\circ$  با تعداد تکرارهای ۳۰۰۰ به صورت شکل‌های ۲۸ و ۲۹ به دست آورديم. مشاهده می‌کنیم که سرعت ذرات در هر دو راستای  $x$  و  $y$  زياد می‌شود و در بازه‌های زمانی بعدی از سرعتشان کاسته می‌شود.

در این مقاله پدیده ناپایداری رامان پیش رو توسط یک کد دو بعدی الکترومغناطیسی غیر نسبیتی که به زبان برنامه نویسی فرتزن ۹۰ نوشته شده است، شبیه‌سازی گردید. ابتدا به دلیل اطمینان از صحت عملکرد کد مورد نظر پدیده انتشار امواج الکترومغناطیسی در محیط‌های خلا و پلاسمای کم چگال مورد بررسی قرار گرفت و مشاهده شد که با رعایت شرط کم چگال بودن پلاسما در انتشار امواج الکترومغناطیسی ورودی از مرز، در پلاسما و خلا تفاوتی وجود ندارد. یعنی پلاسما کم چگال در برابر عبور امواج الکترومغناطیسی حکم یک محیط شفاف را دارد. همچنین مشاهده شد که هنگام عبور موج تخت الکترومغناطیسی در خلا هیچ گونه موج طولی ایجاد نمی‌شود، ولی در عبور از پلاسما کم چگال، امواج طولی با دامنه‌ای قابل ملاحظه رشد می‌کند. این مطلب دلیلی بر مشاهده پدیده ناپایداری امواج الکترومغناطیسی در عبور از پلاسماست. کم بودن در صد خطای محاسبه شده برای نرخ رشد این ناپایداری در مقایسه با مقدار تحلیلی آن دلیل خوبی برای عملکرد مناسب کد نوشته شده، می‌باشد.

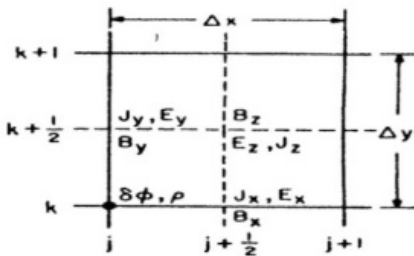
فضای موقعیت ذرات رسم شده نیز نشانگر پدیده خوش‌های شدن است این خود دلیلی بر صحت ایجاد امواج طولی در پلاسما است.

معادلات حاکم بر میدان‌ها و امواج الکترومغناطیسی، معادلات ماکسول است. با استفاده از این معادلات تحول میدان‌های الکترومغناطیسی در طول زمان و مکان قابل مشاهده است. با

۱. Leap-frog scheme

۲. Time centering method

۳. Boris, Morse, Nielson



شکل ۳۱. گسته‌سازی مکانی میدان‌های الکترومغناطیسی و منابع جریان و بار.

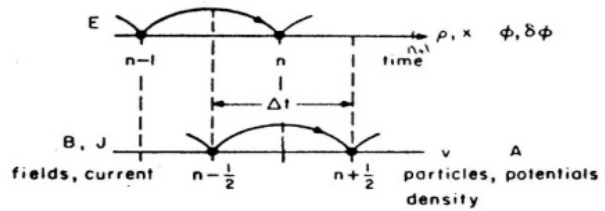
از معادلات معلوم است که زمان محاسبه میدان‌های الکتریکی و مغناطیسی یکی نیست. میدان‌های مغناطیسی در بازه‌های زمانی نیم صحیح محاسبه می‌شوند یعنی  $\frac{1}{2} \Delta t$  و  $B_z^{n+\frac{1}{2}}$  میدان الکتریکی در انتهای بازه‌های صحیح زمانی یعنی  $E_x^n$ ،  $E_y^{n+1}$ ،  $E_y^n$ ، و از آنجا که در حرکت ذرات که در قسمت بعد درباره آن صحبت می‌شود، نیاز است که میدان‌ها هم زمان باشند. برای محاسبه  $B_z^n$  میانگین گیری می‌کنیم [۱۲]:

$$(B_z)_{j+\frac{1}{2}, k+\frac{1}{2}}^n = \frac{(B_z)_{j+\frac{1}{2}, k+\frac{1}{2}}^{n+\frac{1}{2}} + (B_z)_{j+\frac{1}{2}, k+\frac{1}{2}}^{n-\frac{1}{2}}}{2}.$$

حال با توجه به معادلات ماکسول لازم است که چگالی‌های جریان و بار محاسبه شوند. بدین منظور روی نقاط شبکه از یک تابع وزنی به شرح زیر استفاده کرد (ایم [۱۲]): با فرض ذره  $i$  ام که باردار نیز هست در مکان‌های  $x_j$  و  $y_k$  قرار دارد، برای به دست آوردن میدان‌ها با استفاده از چگالی بار و جریان ذرات، یک شبکه فضایی در نظر می‌گیریم که در آن  $x_j = j \Delta x$  و  $y_k = k \Delta y$  است. سایز این شبکه که از  $\Delta x$  به دست می‌آید، باید به اندازه کافی کوچک باشد تا از خطاهای عددی دور شویم. برای محاسبه چگالی بار و جریان هر ذره با توجه به شکل زیر یک تابع وزنی سطحی برای آن در نظر می‌گیریم. که این وزن‌ها با روابط زیر داده می‌شود:

$$\rho_{j,k} = \rho_c \frac{(\Delta x - x_j)(\Delta y - y_k)}{\Delta x \Delta y},$$

$$\rho_{j+1,k} = \rho_c \frac{x_j(\Delta y - y_k)}{\Delta x \Delta y},$$



شکل ۳۰. نمایی از روش پرش قورباغه برای انتگرال‌گیری معادلات ماکسول.

مکان  $(j+\frac{1}{2}) \Delta x$  و  $k \Delta y$  می‌باشد. بدین ترتیب معادلات ماکسول برای میدان TM به شرح زیرند [۱۲]:

$$(\partial_t B_z)_{j+\frac{1}{2}, k+\frac{1}{2}}^n = -(\partial_x E_y - \partial_y E_x)_{j+\frac{1}{2}, k+\frac{1}{2}}^n,$$

$$(\partial_t E_x)_{j+\frac{1}{2}, k}^{n+\frac{1}{2}} = (\partial_y B_z - J_x)_{j+\frac{1}{2}, k}^{n+\frac{1}{2}},$$

$$(\partial_t E_y)_{j, k+\frac{1}{2}}^{n+\frac{1}{2}} = (-\partial_x B_z - J_y)_{j, k+\frac{1}{2}}^{n+\frac{1}{2}},$$

که به صورت نمونه بسط اولین رابطه به صورت زیر است:

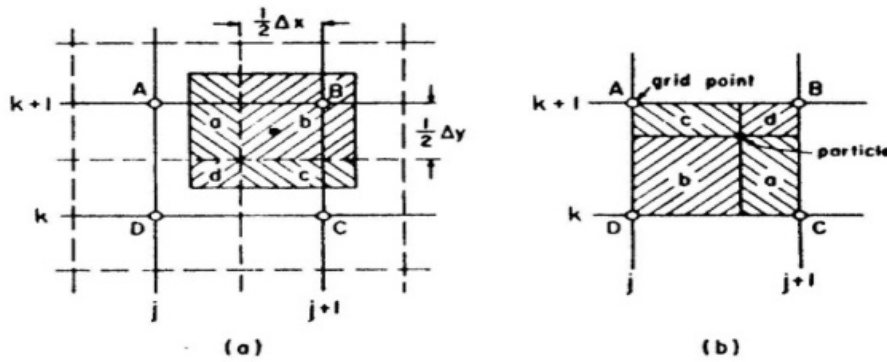
$$\frac{(B_z)_{j+\frac{1}{2}, k+\frac{1}{2}}^{n+\frac{1}{2}} - (B_z)_{j+\frac{1}{2}, k+\frac{1}{2}}^{n-\frac{1}{2}}}{\Delta t} =$$

$$-\frac{(E_y)_{j+1, k+\frac{1}{2}}^n - (E_y)_{j, k+\frac{1}{2}}^n}{\Delta x}$$

$$+ \frac{(E_x)_{j+\frac{1}{2}, k+1}^n - (E_x)_{j+\frac{1}{2}, k}^n}{\Delta y}.$$

با فرض مشخص بودن  $B_z^{n-\frac{1}{2}}$  و  $E_{x,y}^n$  در معادله فوق، به دست می‌آید و سپس بدین ترتیب مؤلفه‌های میدان الکتریکی در یک بازه زمانی بعد یعنی  $E_y^{n+1}$  و  $E_x^{n+1}$  مشخص می‌شود و مقدار مؤلفه‌های میدان‌های الکتریکی و مغناطیسی در تمام زمان‌ها به دست می‌آید.

در اولین گام برای شروع مسئله به ذرات پلاسما سرعت اولیه نمی‌دهیم، مثل این است که یک بیم لیزر به یک جامد می‌تابد و آنرا پلاسما می‌کند. برای یافتن میدان مغناطیسی در نیم بازه زمانی اول از رابطه  $\vec{B}^n = \vec{B}^{n-\frac{1}{2}} - \frac{c \Delta t}{2} \vec{\nabla} \times \vec{E}$  استفاده می‌کنیم.



شکل ۳۲. تخصیص بار برای تابع وزنی دو بعدی. سطوحی که به نقاط شبکه تخصیص می‌یابد بدین ترتیب است: سطح a به نقطه A؛ سطح b به نقطه B و ... .

$$m \frac{d\vec{v}}{dt} = q(\vec{E} + \vec{v} \times \vec{B})$$

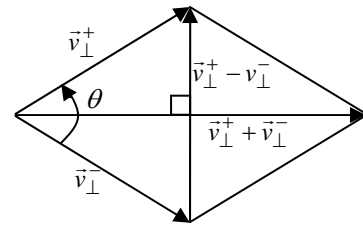
معادله برداری فوق را می‌توان در سه معادله نرده‌ای همزمان حل کرد. اما استفاده از روش بوریس که در آن میدان‌های الکتریکی و مغناطیسی در گام‌های جداگانه‌ای بررسی می‌شوند، روش ساده‌تری است. این روش با دقت مرتبه دوم است. در این روش معادله نیوتون-لورنتس به صورت

$$\frac{\vec{v}^{n+\frac{1}{2}} - \vec{v}^{n-\frac{1}{2}}}{\Delta t} = \frac{q}{m} \left[ \vec{E}^n + \frac{\vec{v}^{n+\frac{1}{2}} + \vec{v}^{n-\frac{1}{2}}}{2} \times \vec{B}^n \right]$$

گستته می‌شود که  $m$  جرم سکون ذره (الکترون یا یون) است. همان‌طوری که ذکر شد در این روش تأثیر میدان‌های الکتریکی و مغناطیسی به‌طور مجزا مورد بررسی قرار می‌گیرد. به همین دلیل دو سرعت مجازی  $v^+$  و  $v^-$  به صورت  $\vec{v}^{n+\frac{1}{2}} = \vec{v}^+ + \frac{q\vec{E}^n}{m} \frac{\Delta t}{2}$  و  $\vec{v}^{n-\frac{1}{2}} = \vec{v}^- - \frac{q\vec{E}^n}{m} \frac{\Delta t}{2}$  تعریف شوند.

با جایگذاری این معادلات در رابطه گستته شده لورنتس به رابطه  $\frac{\vec{v}^+ - \vec{v}^-}{\Delta t} = \frac{q}{m} (\vec{v}^+ + \vec{v}^-) \times \vec{B}^n$  می‌رسیم که نشان می‌دهد بردار  $(\vec{v}^- + \vec{v}^+)$  بر بردار  $(\vec{v}^- - \vec{v}^+)$  عمود و از  $\vec{v}^+$  است. تبدیلی که از  $\vec{v}^-$  به  $v^+$  رخ می‌دهد با توجه به شکل زیر یک چرخش با زاویه  $\theta$  است که این زاویه به

$$\tan \frac{\theta}{2} = \left| \frac{v_\perp^+ - v_\perp^-}{v_\perp^+ + v_\perp^-} \right| = \frac{qB}{m} \frac{\Delta t}{2} = \omega_c \frac{\Delta t}{2}$$



شکل ۳۳. چرخش  $\vec{v}^-$  به  $\vec{v}^+$  با زاویه  $\theta$ .

$$\rho_{j+1,k+1} = \rho_c \frac{x y}{\Delta x \Delta y},$$

$$\rho_{j,k+1} = \rho_c \frac{(\Delta x - x) y}{\Delta x \Delta y},$$

که  $\rho_c = \frac{q}{area}$  چگالی بار برای یک سلول است. یک روش برای محاسبه چگالی جریان طبق فرمول  $J_j^{n+\frac{1}{2}} = \sum_i v_i^{n+\frac{1}{2}} \frac{S(X_j - x_i^n) + S(X_j - x_i^{n+1})}{2}$  بوریس است. که میانگین تابع وزنی سطح S را برای مکان‌های

$x^n$  و  $x^{n+1}$  در  $\frac{n+1}{2} v$  ضرب کنیم و بدین ترتیب چگالی جریان  $J^{n+\frac{1}{2}}$  در نیم بازه زمانی به دست می‌آید. در محاسبه چگالی جریان مربوط به هر ذره باردار از چهار نقطه شبکه که نزدیکترین نقاط به ذره هستند، استفاده می‌شود [۱۲].

در بررسی حرکت ذرات از معادله نیوتون-لورنتس

- در گام بعدی میدان مغناطیسی بر  $\vec{v}$  اثر می‌کند و با چرخش آن  $\vec{v}^+$  به دست می‌آید.

- در گام آخر میدان الکتریکی بر  $\vec{v}^+$  اثر می‌کند و  $\vec{v}^{n+1}$  به دست می‌آید.

به این ترتیب با دانستن میدان‌ها در لحظه  $n$  و سرعت  $v$  ذرات در لحظه  $\frac{1}{2}n - n$ ، می‌توان سرعت در لحظه  $\frac{1}{2}n + n$  را به دست آورد.

می‌شود و در آن  $\omega_c = \frac{qB}{m}$  فرکانس سیکلوترونی است [۱۲].

برای انجام این چرخش دو بردار کمکی  $t$  و  $s$  را به صورت

$$-\frac{q\vec{B}}{m}\frac{\Delta t}{2} \vec{s} = \frac{\vec{t}}{1+|t|^2}$$

با استفاده از این دو بردار این چرخش به صورت

$$\vec{v}^+ = \vec{v}^- + \vec{v}' \times \vec{s} \quad \text{و} \quad \vec{v}^- = \vec{v}^+ + \vec{v}' \times \vec{t}$$

به طوری که  $\vec{v}'$  برداری است که بر بردار  $(-\vec{v}^+ - \vec{v}^-)$  و  $\vec{B}$  عمود

است. به این ترتیب روش بوریس شامل سه مرحله است [۱۲]:

- در گام اول میدان الکتریکی در نیم بازه زمانی بر  $\frac{1}{2}v^n$  اثر کرده و  $\vec{v}'$  به دست می‌آید.

. ایران، اصفهان، دانشگاه صنعتی اصفهان (۱۳۸۸).

۸. مرجان چابکسوار، سحر درویش ملا، مینا جمشیدی، حسین حکیمی پژوه، محمود رضا روحانی، شانزدهمین کنفرانس انجمن اپتیک و فوتونیک ایران، دانشگاه یزد (۱۳۸۸).

9. M Masek, K Rohlens, *Communication in Nonlinear Science and Numerical Simulation* **13** (2008) 125.

10. S Brunner, E J Valeo, *Phys. Rev. Lett.*, **93**, 14 (2004) 3.

11. R W Hockney and J W Eatwood, "Computing Simulation Using Particles". Institute of Physics Publishing Bristol and Philadelphia (1994).

12. C K Birdsall and A B Longdon, "Plasma Physics Via computer Simulation". Institute of Physics Publishing Bristol and Philadelphia (1995).

1. N A Krall, and A W Trivelpiece "Principles of Plasma Physics". New York and London. McGRAW-HILL Book Company (1992).

2. S C Wilks, W L Kruer, K Estabrook, and A El. Langdon, *Phys. Fluids B* **4** (9) (1992).

3. C Hugh Barr, and F Francis Chen, *Phys. Fluids* **30**, 4 (1987) 1.

4. W L Kruer, "The Physics of Laser plasma Interactions". California and New York, Addison-Wesley Publishing Company (1988) 1.

5. S C Wilks, W L Kruer, K Estabrook and A B Longdon *Phys. Fluids B*, **4**, 9 (1992) 1.

6. W H Press, S A Teukolsky, W T Vetterling and B P Flannery, "Numerical Recipes", third edition (2007).

۷. سحر درویش ملا، مرجان چابکسوار، مینا جمشیدی، حسین حکیمی پژوه، محمود رضا روحانی، کنفرانس فیزیک